

ارزیابی آسیب‌پذیری محیط‌زیستی استان لرستان با استفاده از تحلیل تصمیم‌گیری چندمعیاره

فاطمه حق‌ندری - کارشناس ارشد محیط‌زیست، دانشگاه کاشان، کاشان، ایران

روح‌الله میرزابی^{*} - استادیار محیط‌زیست، دانشگاه کاشان، کاشان، ایران

افسانه افضلی⁻ استادیار محیط‌زیست، دانشگاه کاشان، کاشان، ایران

وصول: ۱۳۹۶/۰۴/۲۶ پذیرش: ۱۳۹۶/۰۷/۲۹

چکیده

محیط‌زیست و توسعه، دو موضوع اساسی از نگرانی‌های جهان هستند. تأثیر‌پذیری محیط‌زیست از فعالیت‌های انسان و افزایش تقاضا در استفاده از منابع، امری است که پژوهشگران را بر آن می‌دارد تا مناطق آسیب‌پذیر را شناسایی کرده و در صورت لزوم، اقدام لازم در راستای مدیریت و حفاظت محیط‌زیست و توسعه پایدار تبیین گردد. در این راستا، شاخص آسیب‌پذیری محیط‌زیستی استان لرستان با مشخصه‌هایی از شرایط طبیعی (توپوگرافی، اقلیم، زمین‌شناسی، شاخص نرمال پوشش گیاهی و تراکم آبراهه)، محیطی (کاربری سرزمین، شاخص آسیب‌پذیری دراستیک و فرسایش‌پذیری) و انسانی (تراکم جاده، تراکم جمعیت و محل انشاًت زباله‌های شهری) ارزیابی شد. به این منظور، از دو فرایند تحلیل سلسله‌مراتبی و ترکیب خطی وزنی استفاده شد. نقشه‌های شاخص آسیب‌پذیری محیط‌زیست حاصل از دو روش یادشده، در ۵ طبقه آسیب‌پذیری خیلی کم، کم، متواتر، زیاد و شدید طبقه‌بندی شدند. بر پایه نتایج حاصل از روش تحلیل سلسله‌مراتبی، ۱/۷۶٪ استان با مساحت ۴۸۲/۱ کیلومتر مربع در طبقه آسیب‌پذیری شدید قرار گرفت؛ همچنین، بر پایه نتایج حاصل از روش ترکیب خطی وزنی، ۱۴/۱۸٪ با مساحت ۳۹۹۸/۴ کیلومتر مربع در طبقه آسیب‌پذیری شدید قرار گرفت. لگه‌های داغ در سطح استان، شامل مرکز و جنوب شهرستان الشتر، مرکز و شرق شهرستان خرم‌آباد، مرکز و شرق شهرستان بروجرد، مرکز دورود، شمال و شرق الیگودرز و شمال ازنا هستند. در شهرستان‌های کوهدهشت، رومشکان و دوره به صورت پراکنده و در غرب شهرستان پلدختر و شمال غرب و جنوب غرب نورآباد، به عنوان لگه داغ شناخته شدند. در نهایت، اولویت آسیب‌پذیری منابع آب‌های سطحی و زیرزمینی، پوشش گیاهی و خاک در سطح استان مشخص شد.

وازگان کلیدی: شاخص آسیب‌پذیری محیط‌زیست، لگه داغ، تحلیل سلسله‌مراتبی، ترکیب خطی وزنی، سیستم اطلاعات جغرافیایی، استان لرستان.

مقدمه

ارزیابی کیفیت محیط‌زیست برای مشخص کردن وضعیت مناطق و اقدام‌های مورد نیاز، به منظور حفاظت محیط‌زیست انجام می‌شود (ژیانگ^۱ و همکاران، ۲۰۰۷). با افزایش روابط میان مردم، منابع، محیط‌زیست و توسعه، معضلات محیط‌زیستی نیز برای اولین بار در سال ۱۹۵۰ ظاهر شده و در پی آن، پژوهش‌هایی که به موضوع جغرافیای طبیعت می‌پرداخت، به بحث تغییرات محیط‌زیستی تحت سلطه انسان تبدیل شد؛ از این‌رو، تعامل میان فعالیت‌های طبیعی، زیستی و انسان، توجه بیشتری می‌طلبد (لو^۲، ۲۰۱۱). در سال ۱۹۹۸، کمیسیون توسعه پایدار سازمان ملل متحد^۳، برای تدوین شاخص‌های آسیب‌پذیری محیط‌زیست^۴، با همکاری کمیسیون کاربردی علوم زمین حوزه اقیانوس آرام جنوبی^۵، تلاش‌هایی را آغاز کرد. ابتدا آرایه‌ای از شاخص آسیب‌پذیری انسان و جهان توسط کالی^۶ و همکاران (۲۰۰۴)، ارائه شد و از آن آرایه، شاخص آسیب‌پذیری محیط‌زیست توسعه یافت. در مقیاس جهانی، برای اولین بار در ۲۳۵ کشور، آسیب‌پذیری محیط‌زیستی ارزیابی شد که طبق این ارزیابی، ایران در زمرة کشورهای آسیب‌پذیر طبقه‌بندی شده است (کالی و همکاران، ۲۰۰۴).

آسیب‌پذیری زیست‌محیطی، عبارت است از درجه‌ای که یک اکو‌سیستم را آماده آسیب کند و با تغییر شرایط محیطی، توانایی مقابله و سازش با اثرات را داشته باشد (ترنر^۷ و همکاران، ۲۰۰۳). به طور معمول، بررسی‌های ارزیابی آسیب‌پذیری که بیشتر در پی یافتن یک عامل تنفس بودند، امروزه جنبه‌های دیگر سیستم، مانند اثر هم‌افزایی عوامل تنفس را از منابع متعدد را دنبال می‌کنند؛ افزون بر این، ساز و کارهایی که سبب افزایش یا محدود کردن توانایی یک سیستم برای مقابله با تنفس، سازگاری و بهبود وضعیت می‌شود، نیز بررسی خواهند شد (کلارک و دیکسون^۸، ۲۰۰۳). معیارهای کلیدی آسیب‌پذیری، می‌تواند با تغییر مقیاس مکانی، تغییر کند (بیرکمن^۹، ۲۰۰۷). آسیب‌پذیری محیط‌زیست ناشی از فرایندهای پیچیده، از عوامل آب و هواشناسی، اقتصادی - اجتماعی، منابع زمین و توپوگرافی تأثیر می‌پذیرد (نگوین^{۱۰} و همکاران، ۲۰۱۶).

به هر حال ارزیابی آسیب‌پذیری محیط‌زیست، به یکی از کانون‌های پژوهش‌های تغییر و پایداری جوامع جهانی تبدیل شده است (ادگر^{۱۱}، ۲۰۰۶). امروزه با گسترش مفهوم آن در تجزیه و تحلیل چندمتغیره و ارزیابی اثرات متقابلي که بین فعالیت‌های انسان و طبیعت وجود دارد، لازم است محیط‌زیست به صورت چندبعدی بررسی شود (کاتر^{۱۲}، ۲۰۰۳). با استفاده از نتایج تحقیقات ارزیابی آسیب‌پذیری محیط‌زیستی، در برنامه‌ریزی منطقه‌ای، استراتژیک و محیطی می‌توان آسیب‌های ناشی از اجرای طرح‌های ملی را شناسایی و به حداقل رسانید، همچنین رویکردها و ملاحظات محیط‌زیستی و توسعه پایدار را در برنامه‌ریزی محقق ساخت.

1- Xiong

2- Lu

3- Commission on Sustainable Development (CSD)

4- Environmental Vulnerability Index (EVI)

5- South Pacific Applied Geoscience Commission (SOPAC)

6- Kaly

7- Turner

8- Clark and Dickson

9- Birkmann

10- Nguyen

11- Adger

12- Cutter

(شريفزادگان و فتحي، ۱۳۸۴).

پژوهش‌های متعددی در مقیاس ملی، منطقه‌ای و محلی با انواع مختلفی از فنون تجزیه و تحلیل داده‌ها با کمک سیستم اطلاعات جغرافیایی^۱ و سنجش از دور برای بررسی آسیب‌پذیری محیط‌زیستی انجام گرفته است. در مقیاس ملی، عوامل ارزیابی با توجه به ۵۰ شاخص تدوین شده توسط کمیسیون کاربردی علوم زمین حوزه اقیانوس آرام جنوبی در گزارش سال ۲۰۰۴، در نظر گرفته شده است (کالي و همكاران، ۲۰۰۴؛ اسكوندراس^۲ و همكاران، ۲۰۱۱). در مقیاس منطقه‌ای نیز، بیشتر عواملی مانند منابع زمین (کاربری سرزمین و تیپ خاک)، اقلیم (دما و بارش)، توپوگرافی (شیب و ارتفاع)، فرسایش و تراکم جمعیت استفاده شده است (ساهو^۳ و همكاران، ۲۰۱۶؛ نگوين و همكاران، ۲۰۱۶؛ ليو^۴ و همكاران، ۲۰۱۷؛ شريفزادگان و فتحي، ۱۳۸۴؛ کاوياني، ۱۳۹۳؛ همچنین، در مقیاس محلی بیشتر اکوسیستم، واحد ارزیابی بوده و معیارهای محدودتری نسبت به مقیاس منطقه‌ای بررسی شده‌اند (ليانو^۵ و همكاران، ۲۰۱۳).

منابع غنی خاک و آب استان لرستان، به همراه ظرفیت‌های گردشگری و جاذبه‌های طبیعی کم‌نظیر آن، به صورت بسیار نامناسبی بهره‌برداری می‌شود. استمرار شیوه‌های نامطلوب، باعث تخریب پوشش گیاهی و نابودی منابع خاک و محیط‌زیست و همچنین اتلاف منابع آبی شده است (پژوهشکده اقتصاد دانشگاه تربیت مدرس، ۱۳۸۴). از آنجا که عموماً واحدهای برنامه‌ریزی منطقه‌ای و آمایش سرزمین در سطح استان بررسی می‌شود، پژوهش حاضر در مقیاس منطقه‌ای با هدف تعیین سهم عوامل در آسیب‌پذیر کردن محیط و شناسایی لکه‌های داغ^۶ آسیب‌پذیر استان لرستان انجام گرفته است.

معرفی منطقه مورد بررسی

استان لرستان با مساحت ۲۸۲۹۴ کیلومتر مربع، در امتداد رشته کوه‌های زاگرس قرار گرفته (شکل ۱) و چهاره غالباً آن، دربر گیرنده مناطق کوهستانی است. مساحت جنگلهای این استان حدود ۷۵۰۰۰ هکتار و وسعت مراع آن حدود ۱۲۵۰۰۰ هکتار است. همه مراع استان لرستان در ناحیه ایرانی و تورانی قرار دارند و مناطق بوم‌شناختی آن، ۱۷ تیپ عمده را به خود اختصاص می‌دهد که مهم‌ترین تیپ، گونه‌های گون است (پژوهشکده اقتصاد دانشگاه تربیت مدرس، ۱۳۸۴). جمعیت استان لرستان ۱۷۸۵۰۰۰ نفر و حدود ۲/۵٪ از کل جمعیت کشور را تشکیل می‌دهد.

اقلیم استان لرستان به چهار ناحیه طبقه‌بندی می‌شود که شامل ۱- نیمه‌مرطوب با تابستان گرم و زمستان معتدل که شهرستان‌های خرم‌آباد، الشتر و کوهدشت در این ناحیه قرار دارند؛ ۲- نیمه‌مرطوب با تابستان معتدل و زمستان سرد که شهرستان‌های نورآباد، بروجرد، ازنا و الیگودرز در این ناحیه قرار دارند؛ ۳- نیمه‌مرطوب با تابستان نسبتاً گرم و زمستان سرد که این اقلیم، ویژه شهرستان دورود است و ۴- نیمه‌خشک با تابستان بسیار گرم و زمستان نسبتاً سرد که شامل بخش وسیعی از جنوب استان لرستان یعنی پلدختر است (لشني‌زنده و همكاران، ۱۳۹۰).

1- Geographical Information System (GIS)

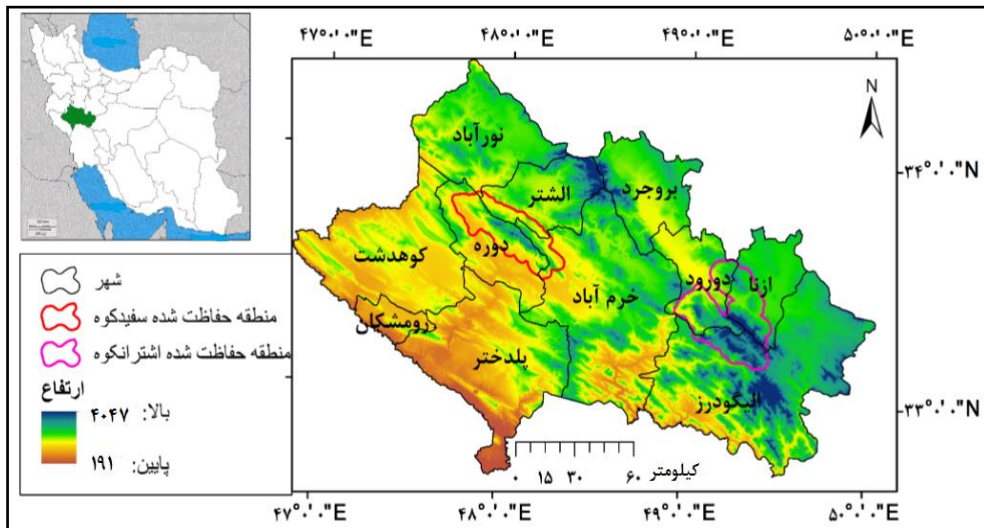
2- Skondras

3- Saho

4- Liu

5- Liao

6- Hot Spot



شکل ۱. نقشه ارتفاع استان لرستان و موقعیت جغرافیایی آن در کشور

مواد و روش‌ها

در این پژوهش، مجموعه‌ای از ویژگی‌های شرایط طبیعی شامل: ارتفاع، شب، میانگین دما، میانگین بارندگی، زمین‌شناسی، شاخص نرمال پوشش گیاهی^۱ و تراکم آبراهه؛ و شرایط محیطی شامل: فرسایش خاک، کاربری سرزمین و شاخص دراستیک^۲؛ و شرایط انسانی شامل: تراکم جمعیت، تراکم جاده و محل انشاًت زباله‌های شهری بررسی شده‌اند (ساهو و همکاران، ۲۰۱۶؛ وانگ^۳ و همکاران، ۲۰۰۸) (جدول ۱). برای اعمال فرایند تحلیل سلسله‌مراتبی^۴، پرسشنامه‌ای به منظور اعمال مقایسه زوجی بین معیارها و طبقات هر کدام از آنها طراحی شد؛ سپس اهمیت نسبی عناصر، توسط ۱۵ نفر از کارشناسان محیط‌زیست مشخص شد و با استفاده از نرم‌افزار اکسپرت چویز^۵، وزن‌ها محاسبه شد، سپس نقشه آسیب‌پذیری طبق این روش تهیّه شد؛ همچنین، برای روش ترکیب خطی وزنی^۶ همه نقشه‌ها با استفاده از منطق فازی استاندارد شده، سپس نقشه آسیب‌پذیری آن ترسیم شد.

فرایند تحلیل سلسله‌مراتبی به طور کلی، از مراحل سه‌گانه، ۱- ایجاد درخت سلسله‌مراتب؛ ۲- مقایسه زوجی و ۳- تعیین امتیاز نهایی گزینه‌ها و سرانجام بررسی سازگاری قضاوت‌ها تشکیل می‌شود.

برای تهیّه ماتریس مقایسه در هر سلسله‌مراتب، ماتریس مقایسه‌های زوجی (D) در بردار وزن‌های نسبی ضرب می‌شود؛ سپس، عناصر بردار مجموع وزنی، در بردار وزن‌های نسبی شاخص‌ها تقسیم می‌شود تا بردار سازگاری (CV) به دست آید. در مرحله بعد، برای محاسبه بزرگ‌ترین مقدار ویژه ماتریس مقایسه‌های زوجی (λ_{\max})، میانگین عناصر بردار سازگاری محاسبه می‌شود. مقایسه‌های زوجی توسط مقیاس ۱ تا ۹ اهمیت نسبی هر عنصر نسبت به عناصر دیگر مشخص می‌شود. برای تعیین درجه دقّت و درستی وزن‌دهی از شاخص ناسازگاری بر مبنای رویکرد بردار ویژه تئوری گراف محاسبه می‌شود. چنانچه شاخص، معادل $1/0$ یا کمتر از آن باشد، وزن‌دهی درست بوده است، در غیر این صورت، وزن‌دهی باید دوباره انجام شود. شاخص ناسازگاری

1- Normalized Difference Vegetation Index (NDVI)

2- DRASTIC Index

3- Wang

4- Analytical Hierarchy Process (AHP)

5- Expert Choice 11

6- Weighted Linear Combination (WLC)

(I.I) از رابطه ۱ به دست می‌آید:

$$I.I = \lambda_{\max} - n/n-1 \quad \text{رابطه ۱}$$

که در این رابطه، منظور از n : تعداد معیار و λ_{\max} : بزرگ‌ترین مقدار ماتریس ویژه است (ساعتی^۱، ۱۹۸۰؛ وانگ و همکاران، ۲۰۰۸ الف).

روش ترکیب خطی وزنی مبتنی بر سیستم اطلاعات جغرافیایی با ضرب نقشه‌های استاندارد شده در وزن‌های متناظر بر آن‌ها حاصل می‌شود. روش ترکیب خطی وزنی از رابطه ۲ محاسبه می‌شود (کرم، ۱۳۸۳):

$$F_i = \sum_{j=1}^n W_j X_{ij} \quad \text{رابطه ۲}$$

طبق رابطه بالا، W_j : وزن هر معیار j ام، X_{ij} : مقداری است که نقشه استاندارد شده ام در رابطه با معیار j دارد.

با توجه به اهمیّت طبقات معیارها و نظر کارشناسی در ارتباط با شرایط محدوده مطالعاتی، حد آستانه برای معیارها تعیین شده و با استفاده از مقیاس ۰-۲۵۵ در محیط نرم‌افزار ترسیم نقشه‌های معیار، استاندارد شدند. به منظور اتخاذ توابع فازی، محدوده‌هایی که محیط‌زیست را حساس و آسیب‌پذیر می‌کرد، مذکور قرار گرفت. از تابع متقاضی برای معیار ارتفاع، شبی و شاخص پوشش گیاهی استفاده شد. برای معیار میانگین بارندگی و محل آنباشت زباله‌های شهری از تابع کاهشی و برای معیارهای زمین‌شناسی، میانگین دما، تراکم آبراهه، تراکم جاده، تراکم جمعیّت، کاربری سرزمین، شاخص دراستیک و فرسایش‌پذیری از تابع افزایشی استفاده شد (جدول ۲).

با توجه به اینکه برای مقایسه نقشه‌های شاخص آسیب‌پذیری محیط‌زیستی حاصل از دو روش تحلیل سلسه‌مراتبی و ترکیب خطی وزنی لازم است ارزش پیکسلی یکسان داشته باشند؛ به این منظور، طبق رابطه ۳ نرمال شدند:

$$\dot{X}_i = (X_i - X_{\min} / X_{\max} - X_{\min}) * 100 \quad \text{رابطه ۳}$$

بر اساس رابطه بالا، X_i : ارزش نرمال شده پیکسل i ؛ X_{\min} : نقشه اصلی؛ X_{\max} : حداقل ارزش پیکسل و بیشینه ارزش پیکسل است (لیو و همکاران، ۲۰۱۷).

جدول ۱. منابع و مقیاس نقشه‌های معیار شاخص آسیب‌پذیری زیست‌محیطی استان لرستان

معیار	مقیاس	منبع
توبوگرافی، زمین‌شناسی، تراکم آبراهه، تراکم جاده، کاربری سرزمین و فرسایش‌پذیری	۱:۲۵۰۰۰	استانداری استان لرستان، سال ۱۳۹۳
داده‌های بارندگی و دما	۱:۲۵۰۰۰	سازمان هواشناسی کشور، سال ۱۳۹۵
تراکم جمعیّت	۱:۲۵۰۰۰	مرکز آمار ایران، سال ۱۳۹۵
محل آنباشت زباله‌های شهری	۱:۲۵۰۰۰	اداره کل حفاظت محیط‌زیست استان لرستان، سال ۱۳۹۵
شاخص آسیب‌پذیری دراستیک	۱:۲۵۰۰۰	شرکت سهامی آب منطقه‌ای استان لرستان، سال ۱۳۹۳
شاخص نرمال پوشش گیاهی	۱:۲۵۰۰۰	ماهواره لندست ۸، سنجنده اول آی./آی. آر. در تاریخ ۰۷/۰۹/۱۶۰۲

1- Saaty

2- TerrSet

3- OLI/TIR

4- <https://Earthexplorer.usgs.gov>

جدول ۲. حد آستانه و نوع تابع فازی برای استانداردسازی نقشه‌های معیار در منطقه فازی

نوع تابع	شکل تابع	نوع فازی	حد آستانه				محدوده	نقشه
			a	b	c	d		
ارتفاع (متر)	S	متقارن	۱۰۰۰	۲۰۰۰	۳۰۰۰	۴۰۰۰	۱۹۱-۴۰۴۷	شکل S
شیب (درصد)	S	متقارن	۸	۲۰	۳۵	۴۰	۰-۸۱	خطی
زمین‌شناسی	خطی	افزایشی	۲	۳	-	-	۱-۲-۳-۴*	
فاصله از محل انباشت زباله‌های شهری (متر)	S	کاهشی	-	-	۲۰۰۰	۳۰۰۰	۱۰۰۰-۳۰۰۰<	میانگین دما (درجه سلسیوس)
میانگین بارندگی (میلی‌متر)	S	افزایشی	۱۶	۲۰	-	-	۱۱-۲۲.۸	شکل S
شاخص پوشش گیاهی	S	کاهشی	-	-	۶۰۰	۱۲۰۰	۱۲۰۰-۴۰۰	شکل S
تراکم آبراهه (کیلومتر بر کیلومتر مربع)	S	متقارن	-۰/۵	۰/۲	۰/۶	۱	(+۱)-(-۱)	شکل S
تراکم جاده (کیلومتر بر کیلومتر مربع)	S	افزایشی	۰/۱	۱/۲	-	-	۰-۱.۸۵	خطی
کاربری سرزمین	S	افزایشی	۰/۲	۱/۲	-	-	۰-۱.۷۵	شکل S
تراکم جمعیت (نفر در کیلومتر)	S	افزایشی	۲	۳	-	-	۱-۲-۳-۴**	شکل S
شاخص دراستیک	S	افزایشی	۵۰۰	۵۰۰۰	-	-	۱۰-۹۰۰۰	شکل S
فرسایش‌پذیری	S	افزایشی	۶۰	۱۳۸	-	-	۲۳-۱۷۸	خطی
فرسایش‌پذیری	خطی	افزایشی	۳	۴	-	-	۱-۲-۳-۴***	

* شماره ۱ و ۲، مربوط به سنگ‌هایی است که مقاومت زیادی به هوازدگی و فرسایش دارند؛ مانند گرانیت، گابرو، کوارتندیریت، آهک‌های رادیولاریتی، آندزیت، آهک روتسیت‌دار و اریبیتولین‌دار؛ شماره ۳، مربوط به سنگ‌هایی است که به هوازدگی و فرسایش، نیمه‌ مقاوم هستند؛ مانند آهک نازک لایه‌دار، دولومیت قوه‌های، ولکانیک، اسلیت، آهک مرجانی، آهک و شیل دولومیتی؛ شماره ۴، مربوط به سنگ‌هایی است که به هوازدگی و فرسایش مقاومت ضعیف دارند؛ مانند آهک مارنی، شیل مارنی، ماسه‌سنگ، کنگلومرا، مارن، آهک رسی، برش رادیولاریت‌دار، تراس، تله‌زنگ، تناوب آهک نازک لایه‌دار.

** شماره ۱ و ۲، به ترتیب مربوط به کاربری جنگل و مراتع؛ شماره ۳ و ۴ به ترتیب مربوط به کاربری زراعت، شهر و مسیل و تالاب است.

*** شماره ۱، ۲ و ۳ به ترتیب مربوط به فرسایش‌پذیری خیلی کم، کم و متوسط؛ شماره ۴، مربوط به فرسایش‌پذیری زیاد و شدید است.

نتایج

وزن دهی معیارها و طبقات آنها، با استفاده از فرایند تحلیل سلسله‌مراتبی محاسبه شد (جدول ۳). تراکم جمعیت با مقدار ۰/۲۰۰ و ارتفاع از سطح دریا با مقدار ۰/۰۱۲، به ترتیب، بیشترین و کمترین وزن را به خود اختصاص دادند و میزان ناسازگاری وزن معیارها ۰/۰۹ محاسبه شد.

طبق فرایند تحلیل سلسله‌مراتبی، با تلفیق نقشه‌های معیار، نقشه شاخص آسیب‌پذیری محیط‌زیستی در پنج طبقه آسیب‌پذیری خیلی کم، کم، متوسط، زیاد و شدید تهیه شد (شکل ۳). بر اساس یافته‌ها، ۰/۱۵٪ از وسعت استان در طبقه آسیب‌پذیری خیلی کم، ۰/۳۸٪ در طبقه آسیب‌پذیری کم، ۰/۲۰٪ در طبقه آسیب‌پذیری متوسط، ۰/۵۱٪ در طبقه آسیب‌پذیری زیاد و ۰/۷۶٪ در طبقه آسیب‌پذیری شدید قرار دارد؛ بنابراین، بیشتر وسعت استان در طبقه آسیب‌پذیری کم قرار دارد (جدول ۴).

طبق فرایند ترکیب خطی وزنی، نقشه شاخص آسیب‌پذیری محیط‌زیستی در پنج طبقه خیلی کم، کم، متوسط، زیاد و شدید تهیه شد (شکل ۳). در جدول ۴، مساحت طبقات آسیب‌پذیری ذکر شده است. به این ترتیب، ۰/۹۴٪ از مساحت استان در طبقه آسیب‌پذیری خیلی کم، ۰/۲۵٪ در طبقه آسیب‌پذیری کم، ۰/۱۴٪ در طبقه آسیب‌پذیری متوسط، ۰/۱۴٪ در طبقه آسیب‌پذیری زیاد و ۰/۱۸٪ در طبقه آسیب‌پذیری شدید قرار دارند؛ بنابراین، بر اساس این روش، بیشتر وسعت استان در طبقه آسیب‌پذیری زیاد

قرار دارد و لکّه‌های داغ در آن، در مقایسه با روش تحلیل سلسه‌مراتبی وسعت بیشتری از استان را دربر می‌گیرد (جدول ۴).

جدول ۳. وزن و میزان ناسازگاری طبقات معیارهای شاخص آسیب‌پذیری محیط‌زیستی به روش تحلیل سلسه‌مراتبی

ردیف	معیار	وزن معیار	طبقات معیار	وزن طبقات معیار
۱	ارتفاع	۰/۰۱۲	۲۰۰۰-۳۰۰۰(۳) ۳۰۰۰-۴۰۴۷(۴)	۰/۴۸۱ ۰/۱۵۲
۲	شیب	۰/۰۱۸	۰-۸ (۱) ۸-۲۰ (۲) ۲۰-۳۵ (۳)	۰/۱۲۸ ۰/۲۵۱ ۰/۳۸۵
۳	زمین‌شناسی	۰/۰۲۲	(۱) خیلی مقاوم به هوازدگی و فرسایش (۲) مقاوم به هوازدگی و فرسایش (۳) نیمه مقاوم به هوازدگی و فرسایش (۴) مقاومت ضعیف به هوازدگی و فرسایش	۰/۰۶۲ ۰/۱۳۳ ۰/۳۲۵ ۰/۴۷۹
۴	میانگین دما	۰/۰۲۳	۱۱-۱۴ (۱) ۱۴-۱۶ (۲) ۱۶-۱۸ (۳) ۱۸-۲۲/۸ (۴)	۰/۱۹۱ ۰/۱۷۱ ۰/۱۷۱ ۰/۴۶۷
۵	میانگین بارندگی	۰/۰۳۲	<۵۰۰ (۱) ۵۰۰-۷۰۰ (۲) ۷۰۰-۸۵۰ (۳) >۸۵۰ (۴)	۰/۳۳۰ ۰/۲۰۷ ۰/۱۷۵ ۰/۲۸۸
۶	شاخص نرمال پوشش گیاهی	۰/۰۴۲	-۱--۰/۵ (۱) -۰/۵--۰/۱ (۲) ۰/۱-۰/۲ (۳) ۰/۲-۱ (۴)	۰/۲۹۹ ۰/۲۵۳ ۰/۲۰۹ ۰/۲۳۹
۷	فاصله از محل انباشت زباله‌های شهری	۰/۰۴۶	(۱) فاصله ۱۰۰۰ متری از محل (۲) فاصله ۲۰۰۰ متری از محل (۳) فاصله ۳۰۰۰ متری از محل (۴) فاصله بیش از ۳۰۰۰ متری از محل	۰/۵۵۴ ۰/۲۳۷ ۰/۱۲۲ ۰/۰۸۷
۸	تراکم آبراهه	۰/۰۷۴	۰--۰/۱ (۱) ۰/۱-۰/۵ (۲) ۰/۵-۱ (۳) ۱-۱/۸۵ (۴)	۰/۰۸۱ ۰/۱۵۴ ۰/۲۸۸ ۰/۴۷۷
	میزان ناسازگاری ۰/۰۱			

ادامه جدول ۳. وزن و میزان ناسازگاری طبقات معیارهای شاخص آسیب‌پذیری محیط‌زیستی به روش تحلیل سلسله‌مراتبی

ردیف	معیار	وزن معیار	طبقات معیار	وزن طبقات معیار
۹	شاخص دراستیک	۰/۱۲۳	۹۳-۱۳۷ (۳)	۰/۲۳۸
			۱۳۸-۱۷۸ (۴)	۰/۴۳۳
۱۰	تراکم جاذه	۰/۱۲۸	۰-۰/۲ (۱)	۰/۰۵۴
			۰/۲-۰/۶ (۲)	۰/۱۲۲
		۰/۱۲۸	۰/۸-۱ (۳)	۰/۲۴۵
			۱-۱/۷۵ (۴)	۰/۵۷۹
۱۱	فرسايش‌پذيرى	۰/۱۲۳	(۱) خيلي کم	۰/۰۹۵
			(۲) کم	۰/۱۶۰
		۰/۱۲۳	(۳) متوسط	۰/۲۷۷
			(۴) زياد	۰/۴۶۷
۱۲	كاربرى اراضي	۰/۱۴۶	(۱) مرتع	۰/۰۹۵
			(۲) جنگل	۰/۱۶۰
		۰/۱۴۶	(۳) زراعت	۰/۲۷۷
			(۴) شهر، تالاب و مسيل	۰/۴۶۷
۱۳	تراکم جمعیت	۰/۲۰۲	<۵۰۰ (۱)	۰/۰۹۵
			۵۰۰-۵۰۰۰ (۲)	۰/۱۶۰
		۰/۲۰۲	۵۰۰۰-۵۰۰۰۰ (۳)	۰/۲۷۷
			>۵۰۰۰ (۴)	۰/۴۶۷
	میزان ناسازگاری ۰/۰۱			

نقشه‌های شاخص آسیب‌پذیری محیط‌زیستی حاصل از دو روش تجمعی شد تا به کمک لکه‌های داغ در دو روش یادشده، بتوان به نقاط مشترکی دست یافت. به این ترتیب، در جدول ۵، وسعت طبقات آسیب‌پذیری محیط‌زیستی به تفکیک طبقات ارتفاعی ذکر شده است که نشان می‌دهد طبقه ارتفاعی ۱۹۱-۱۰۰۰ نسبت به محدوده‌ای از استان بیشترین میزان از لکه‌های داغ را دارد. پس از آن، طبقه ارتفاعی ۱۰۰۰-۲۰۰۰ و ۲۰۰۰-۳۰۰۰ به ترتیب در رتبه دوم و سوم قرار دارند. در جدول ۶ نیز، وسعت طبقات آسیب‌پذیری به تفکیک شهرستان‌های استان لرستان آورده شده که نسبت به محدوده هر شهرستان، الشتر بیشترین میزان آسیب‌پذیری را دارد؛ پس از آن، شهرستان‌های بروجرد، دورود، خرم‌آباد، پلدختر، الیگودرز، نورآباد، ازنا، دوره، رومشکان و کوهدهشت به ترتیب، در رده‌های بعدی قرار دارند.

جدول ۴. وسعت طبقات نقشه شاخص آسیب‌پذیری محیط‌زیستی حاصل از دو روش تحلیل سلسله‌مراتبی و ترکیب خطی وزنی (کیلومتر مربع)

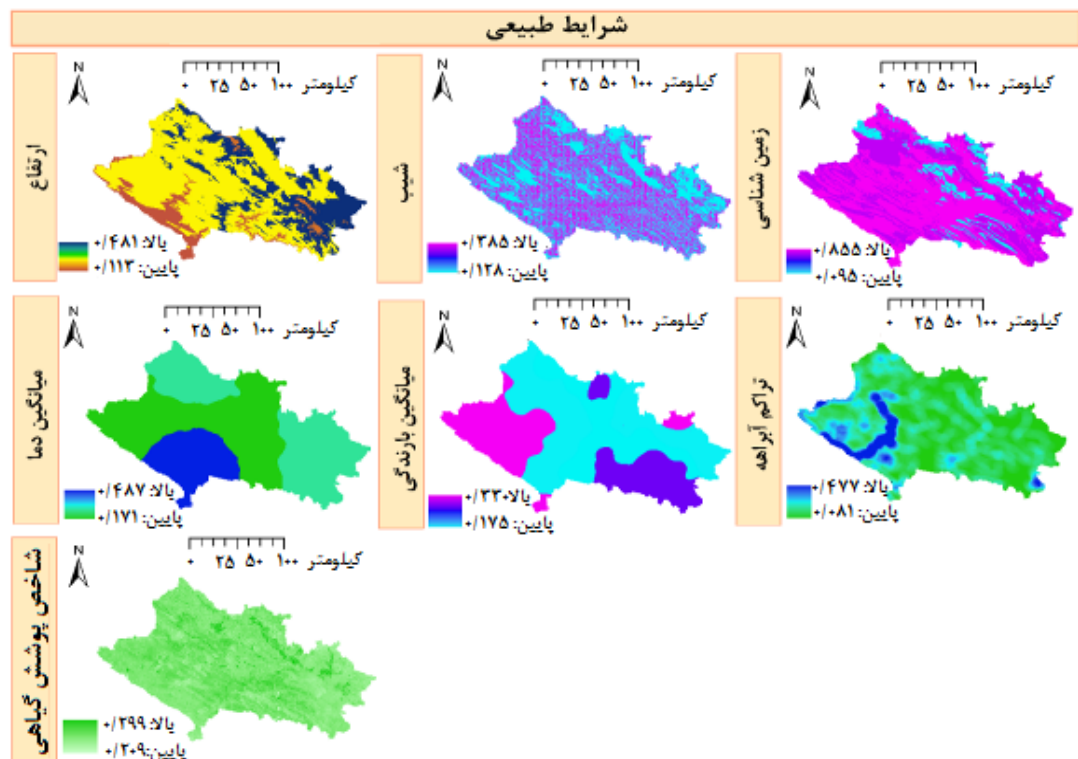
روش	خیلی کم	کم	متوسط	درصد مساحت	درصد مساحت	درصد مساحت	درصد مساحت	شديد	زياد
تحلیل سلسله‌مراتبی	۵۸۷/۵	۲/۱۵	۱۲۱۴۱/۲	۴۴/۲۸	۱۱۵۴۴/۵	۴۲/۲۰	۲۶۰۰/۹	۹/۵۱	۴۸۲/۱
ترکیب خطی وزنی	۵۴۶/۸	۱/۹۴	۳۴۵۳/۷	۱۲/۲۵	۸۵۹۹/۲	۳۰/۵۰	۱۱۵۹۹/۲	۴۱/۱۴	۳۹۹۸/۴

جدول ۵. وسعت طبقات بر اساس نقشه شاخص آسیب‌پذیری محیط‌زیستی تجمیع شده دو روش تحلیل سلسله‌مراتبی و ترکیب خطی وزنی به تفکیک طبقات ارتفاعی (کیلومتر مربع)

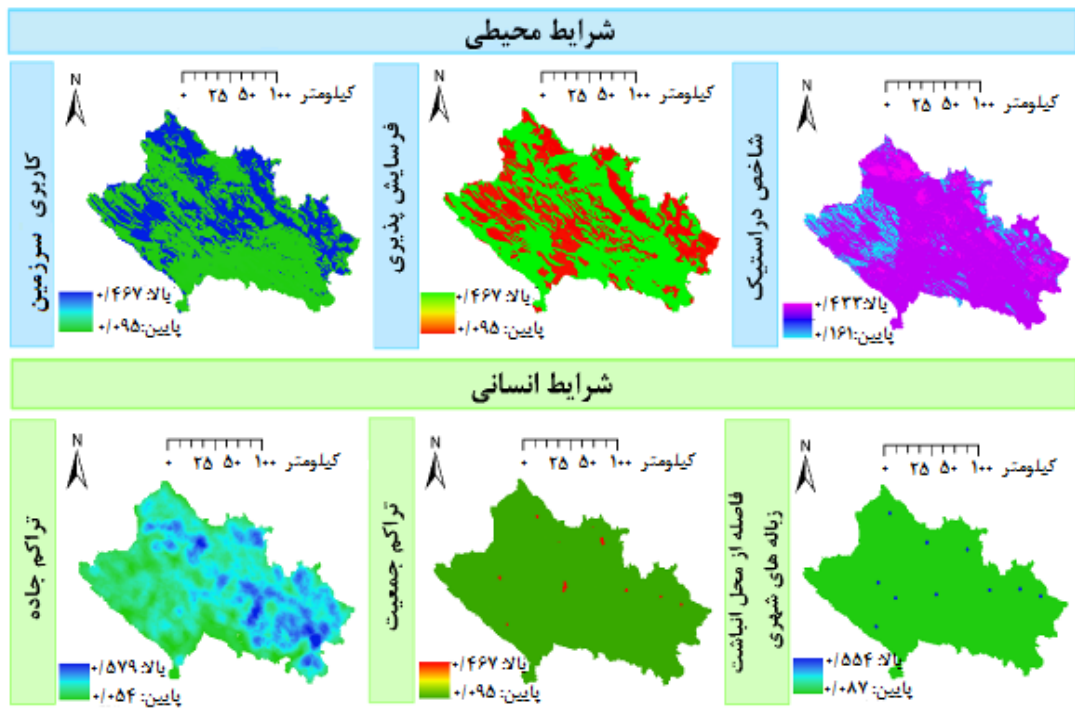
طبقات ارتفاع		خیلی کم		کم		متوسط		زیاد		شدید	
مساحت درصد	درصد	مساحت درصد	درصد	مساحت درصد	درصد	مساحت درصد	درصد	مساحت درصد	درصد	مساحت درصد	درصد
۸/۱۸	۱۰۶/۱	۶۰/۶۱	۷۸۶/۴	۸/۳۴	۱۰۸/۲	۲۱/۴۶	۲۷۷/۹	۱/۴۶	۱۸/۹	۱۹۱-۱۰۰	
۲/۷۹	۴۸۱/۵	۲۴/۴۳	۴۲۲۰/۵	۵۳/۲۱	۹۱۹۲/۳	۱۹/۰۴	۳۲۸۸/۸	۰/۵۴	۹۲/۶	۱۰۰۰-۲۰۰۰	
۲/۶۴	۱۹۵/۸	۲۵/۰۲	۱۸۵۳/۵	۵۷/۲۹	۴۲۴۳/۵	۱۴/۴۶	۱۰۷۱/۳	۰/۵۷	۴۲/۵	۲۰۰۰-۳۰۰۰	
۰/۰۷	۰/۳	۵/۹۵	۲۳/۹	۷۱/۱۹	۲۸۶/۱	۲۲/۶۲	۹۰/۹	۰/۱۷	۰/۷	۳۰۰۰-۴۰۴۷	

جدول ۶. وسعت طبقات شاخص آسیب‌پذیری محیط‌زیست بر اساس نقشه تجمیع شده دو روش تحلیل سلسله‌مراتبی و ترکیب خطی وزنی به تفکیک شهرستان‌های استان لرستان (کیلومتر مربع)

نام شهرستان											
شدید		زیاد		متوسط		کم		خیلی کم		طبقات ارتفاع	
درصد	مساحت	درصد	مساحت	درصد	مساحت	درصد	مساحت	درصد	مساحت	درصد	مساحت درصد
۰/۸۸	۱۱/۶	۲۳/۸۱	۳۱۲/۹	۶۴/۵۱	۸۴۷/۶	۱۰/۷۱	۱۴۰/۷	۰/۰۹	۱/۲	ازنا	
۲/۸۶	۱۴۹/۳	۲۵/۰۲	۱۳۰۵/۷	۵۵/۷۸	۲۹۱۰/۶	۱۵/۴۹	۸۰۸/۱	۰/۸۵	۴۴/۱	الیگودرز	
۱۰/۲۶	۱۵۳/۶	۳۶/۷۶	۵۵۰/۵	۴۲/۶۱	۶۳۸/۱	۱۰/۳۷	۱۵۵/۳	۰	۰	الشتر	
۳/۸۹	۶۴/۹	۲۶/۸۶	۴۴۷/۹	۵۶/۲۹	۹۳۸/۶	۱۲/۱۴	۲۰۲/۵	۰/۸۱	۱۳/۵	بروجرد	
۳/۳۵	۱۲۲/۱	۲۷/۱۸	۹۹۰/۲	۴۷/۲۱	۱۷۱۹/۸	۲۲/۱۹	۸۰۸/۶	۰/۰۷	۲/۵	پلدختر	
۳/۴۵	۱۶۲/۳	۲۶/۴۴	۱۲۵۲/۲	۵۵/۸۲	۲۶۴۳/۹	۱۴/۱۹	۶۷۲	۰/۱۱	۵/۱	خرم‌آباد	
۳/۴۸	۴۶/۵	۲۳/۰۴	۳۰۸/۱	۶۴/۵۴	۸۶۲/۹	۸/۹۴	۱۱۹/۵	۰/۰۱	۰/۱	دورود	
۰/۳۷	۵/۹	۲۲/۲۲	۳۶۰/۶	۵۷/۶۳	۹۳۵/۲	۱۹/۵	۳۱۶/۴	۰/۲۸	۴/۵	دوره	
۰/۱۱	۰/۵	۲۶/۳۴	۱۲۱/۸	۶۶/۷۲	۳۰۸/۵	۶/۸۳	۳۱/۶	۰	۰	رومشکان	
۰/۱	۳/۴	۱۰/۴۸	۳۵۹/۲	۵۶/۹۱	۱۹۴۹/۶	۳۱/۱۹	۱۰۶۸/۷	۱/۳۲	۴۵/۱	کوهدهشت	
۲/۵۷	۶۲/۳	۳۶/۰۴	۸۷۴/۸	۴۲/۲۴	۱۰۴۹/۵	۱۶/۴۹	۴۰۵/۱	۱/۴۶	۳۵/۵	نورآباد	

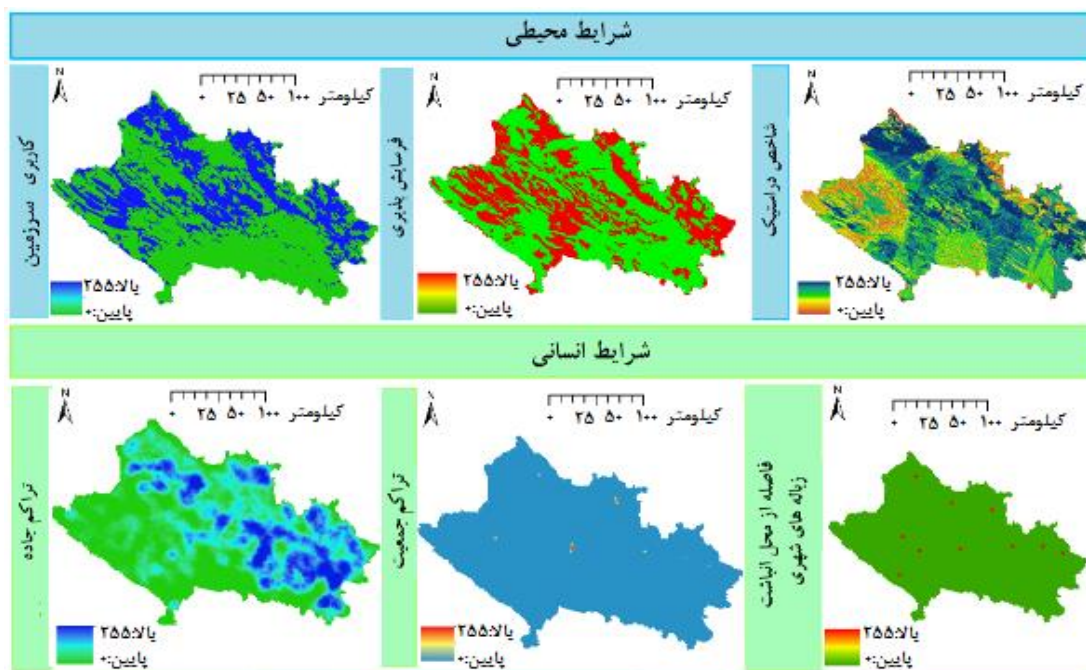


شکل ۲. نقشه‌های وزن‌دهی شده معیارهای شاخص آسیب‌پذیری محیط‌زیست به روش تحلیل سلسله‌مراتبی

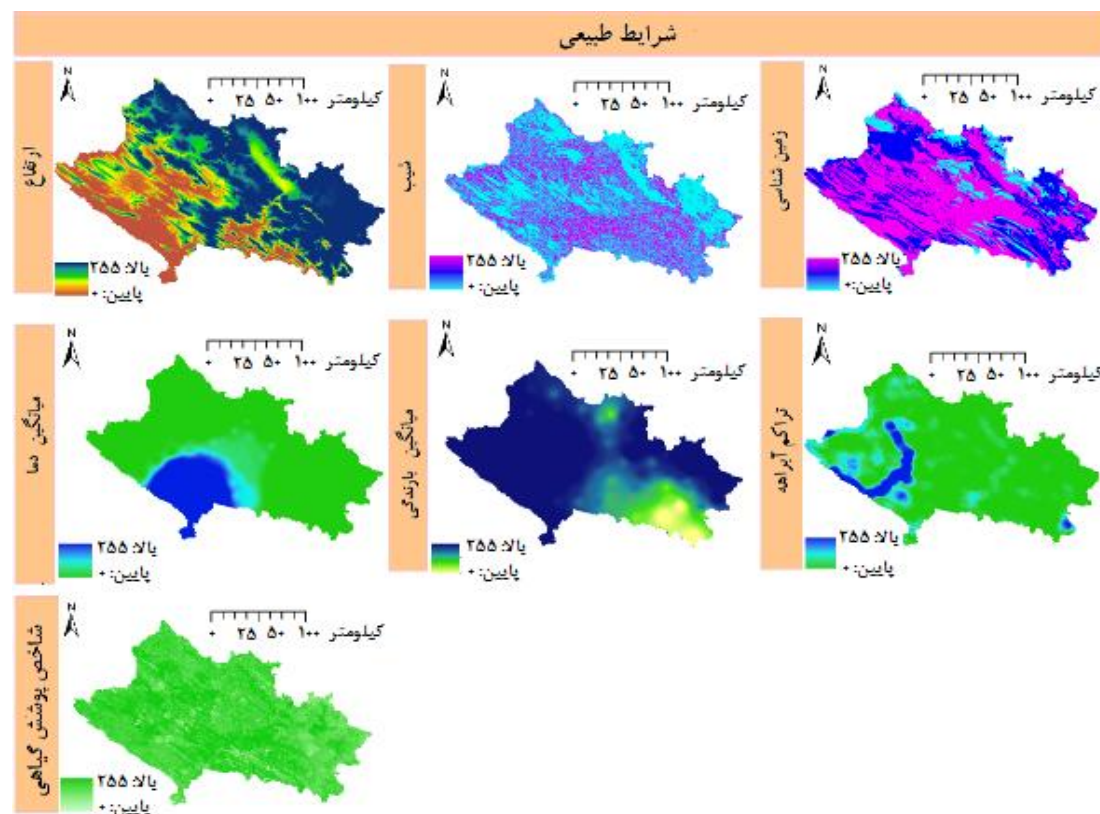


ادامهٔ شکل ۲. نقشه‌های وزن‌دهی شدهٔ معیارهای شاخص آسیب‌پذیری محیط‌زیست به روش تحلیل سلسله‌مراتبی

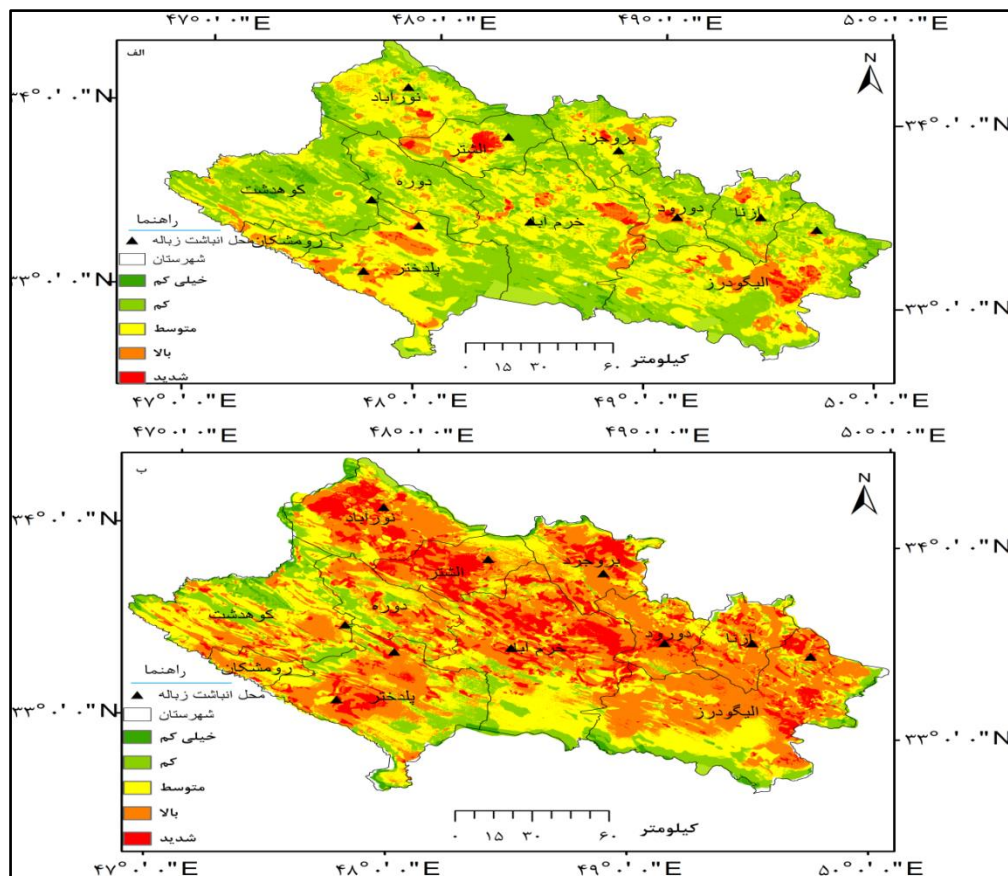
تصاویر استخراج شده لکه‌های داغ از گوگل ارث^۱ نشان می‌دهد که کاربری‌های اصلی در شهرستان‌های الشتر، خرم‌آباد، بروجرد، دورود، الیگودرز و ازنا، کشاورزی و شهری هستند. در کوه‌دهشت، رومشکان و دوره، جنگل‌های بلوط ارتفاعات دچار آسیب‌پذیری شدید هستند. در پلدختر و نورآباد، کشتزارهای با شیب زیاد به همراه ساختار زمین‌شناسی حستاس به عنوان لکه داغ شناخته شدند (شکل ۵).



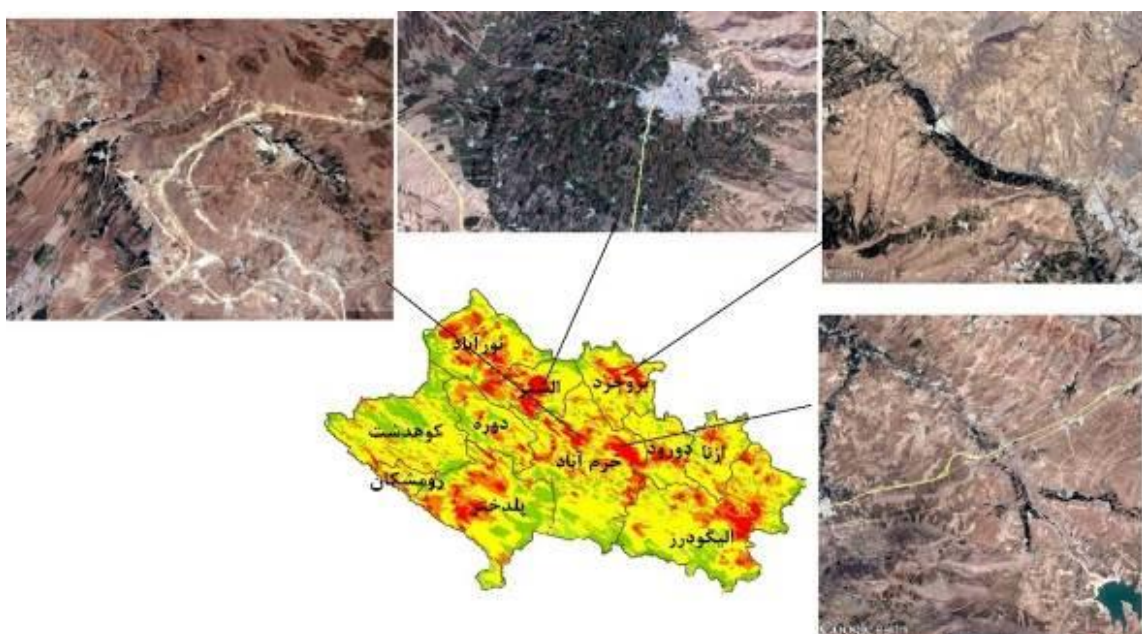
شکل ۳. نقشه‌های استاندارد شدهٔ معیارهای شاخص آسیب‌پذیری محیط‌زیست به روش منطق فازی



ادامه شکل ۳. نقشه‌های استانداردشده معیارهای شاخص آسیب‌پذیری محیط‌زیست به روش منطق فازی



شکل ۴. نقشه‌های شاخص آسیب‌پذیری محیط‌زیست به روش الف: تحلیل سلسله‌مراتبی و ب: روش ترکیب خطي وزنی



شکل ۵. تصویر لکه‌های داغ بر اساس نقشهٔ تجمعی شدهٔ دو روش تحلیل سلسله‌مراتبی و ترکیب خطی وزنی

بحث

آسیب‌پذیری زیست‌محیطی، در معرض خطر قرار گرفتن نهادهایی مانند اکوسیستم، جمعیت و فرایندهای فیزیکی و زیستی را نشان می‌دهد که این موارد، خود از فعالیت‌های انسانی تأثیر می‌پذیرند (کالی و همکاران، ۲۰۰۴)؛ بنابراین، لازم است بسیاری از مشخصه‌ها که بیانگر شرایط طبیعی و انسانی باشند، بررسی شوند.

انتخاب عوامل، با توجه به شرایط منطقهٔ مطالعاتی، متفاوت خواهد بود، به طوری که عواملی مورد بررسی قرار می‌گیرند که در وهله اول در محدودهٔ مطالعاتی موجود بوده، دوم اینکه تأثیر چشمگیری بر محیط‌زیست منطقه داشته باشند. در این پژوهش، با جمع‌بندی نظرات کارشناسی برای انتخاب معیارها و اختصاص وزن به آنها، نتایج بر اهمیت سه منبع مهمٔ زیست‌محیطی تأکید داشتند. این منابع، شامل پوشش گیاهی، منابع آب‌های سطحی و زیرزمینی و فرسایش خاک منطقه هستند. برای انتخاب معیارهای ارزیابی آسیب‌پذیری زیست‌محیطی تلاش بر این بوده است که جنبه‌های مختلف شرایط طبیعی و انسانی پوشش داده شود. با این وجود، برخی معیارها دارای وجود اشتراک اجتناب‌ناپذیری از لحاظ اهمیت زیست‌محیطی هستند؛ به عنوان مثال، معیار شبیه از جنبهٔ فرسایش نواحی با شبیه بالا و معیار زمین‌شناسی از جنبه مقاومت سنگ‌ها به فرسایش و هوازدگی نقطهٔ مشترکی با معیار فرسایش‌پذیری دارند؛ همچنین اهمیت معیار ارتفاع از سطح دریا به واسطهٔ پوشش گیاهی نواحی مرتفع زاگرس وجه مشترکی با شاخص پوشش گیاهی دارد (وانگ و همکاران، ۲۰۰۸؛ لی^۱ و همکاران، ۲۰۰۹؛ نگوین و همکاران، ۲۰۱۶). اهمیت معیار ارتفاع از سطح دریا به واسطهٔ پوشش گیاهی نواحی مرتفع استان لرستان (رشته‌کوه زاگرس) نقطهٔ مشترکی با شاخص پوشش گیاهی دارد؛ به طوری که در ناحیهٔ زاگرس، از ارتفاع ۱۰۰۰ متری از سطح دریا رویش بلוט، از ارتفاع ۱۲۰۰ متری رویش بادام و بنه و از ارتفاع ۲۱۰۰ متری رویش گلابی وحشی آغاز می‌شود (مخدوم فرخنده، ۱۳۸۷: ۱۱۵). نبود پوشش گیاهی با کاهش تنوع زیستی و یکپارچگی اکوسیستم، می‌تواند بر تعاملات پیچیده زیست‌محیطی اثرگذار باشد. پوشش گیاهی، به عنوان پناهگاهی برای گونه‌های در معرض تهدید، تولیدکنندهٔ دی‌اکسید کربن

و اکسیژن، کاهش اثرات آلودگی هوا، تولید خاک و حفظ ذخایر آب زیرزمینی عمل می‌کند. در نتیجه، با مقاومت محیط در برابر خطرات زیستمحیطی، می‌تواند در کاهش اثرات منفی مؤثر واقع شود (کالی و همکاران، ۲۰۰۴: ۲۷). معیار تراکم آبراهه و شاخص دراستیک نیز اهمیت منابع آب‌های سطحی و زیرزمینی را ظاهر می‌سازند (ساهو و همکاران، ۲۰۱۶؛ نگوین و همکاران، ۲۰۱۶). به علاوه، مشخصه‌های شرایط انسانی مانند تراکم جمعیت، تراکم جاده و محل آنباشت زباله‌های شهری، سه منبع زیستمحیطی یادشده را تحت تأثیر قرار می‌دهند (لیو و همکاران، ۲۰۱۷). تراکم جمعیت، پتانسیل خسارت به واسطه توسعه انسانی را نشان می‌دهد. در پی افزایش جمعیت، نرخ بهره‌برداری از منابع طبیعی و تولید پسماند افزوده می‌شود؛ در نتیجه، تقاضا برای مسائل مربوط به دفع پسماند، زیرساختها را با خطر آسیب موواجه می‌سازد. محل آنباشت زباله‌های شهری نیز خطری برای اکوسیستم‌های آبی و خشکی، گونه‌های در معرض خطر انقراض و حساس محسوب می‌شوند (کالی و همکاران، ۲۰۰۴: ۳۹).

تعیین وزن عوامل مختلف یکی از مهم‌ترین چالش‌ها در ارزیابی به شمار می‌رود (لی و همکاران، ۲۰۰۹). بسیاری از پژوهش‌ها در این زمینه از جمله ساهو و همکاران (۲۰۱۶)، نگوین و همکاران (۲۰۱۶) و لیو و همکاران (۲۰۱۷) برای وزن دهی به معیارها، از فرایند تحلیل سلسله‌مراتبی استفاده کرده‌اند. در صورتی که هدف از ارزیابی، بررسی تغییرات زمانی آسیب‌پذیری باشد، از روش تحلیل مؤلفه‌های اصلی مکانی^۱ بهره برده‌اند که می‌توان به مطالعات ناندی^۲ و همکاران (۲۰۱۵)، وانگ و همکاران (۲۰۰۸ ب) و لی و همکاران (۲۰۰۶) اشاره کرد.

در این پژوهش نیز، برای وزن دهی عوامل از فرایند تحلیل سلسله‌مراتبی استفاده شد که تراکم جمعیت، به عنوان یک ویژگی انسانی، بیشترین وزن را به خود اختصاص داد و کمترین وزن به معیار ارتفاع اختصاص یافت. تراکم جمعیت، به عنوان یک عامل در افزایش روند اثرات نامطلوب بر محیط‌زیست در بسیاری از مطالعات ثابت شده است (ناندی و همکاران، ۲۰۱۵؛ لی و همکاران، ۲۰۰۶؛ لی و همکاران، ۲۰۰۹) که این امر، منجر به کاهش عرصه‌های منابع طبیعی، تغییرات سریع کاربری اراضی و فرسایش خاک می‌شود (وانگ و همکاران، ۲۰۰۸ الف).

در پژوهش ساهو و همکاران (۲۰۱۶)، در منطقه ساحلی اودیشا هند، بیشترین وزن، به شاخص دراستیک و کمترین وزن، به معیار زمین‌شناسی تعلق گرفته است. این امر، ممکن است به سبب اهمیت آب شیرین این منطقه که از منابع آب‌های زیرزمینی تأمین می‌شود، باشد. در مطالعه لی و همکاران (۲۰۰۹)، در حوزه دانجیانگ کو چین، بیشترین وزن، به معیار ارتفاع و کمترین وزن، به معیار شاخص خشکی تعلق گرفته است. منطقه مطالعاتی ایشان از ارتفاع ۱۵۰ آغاز و تا ۳۶۱۲ متری ادامه می‌یابد. این محدوده تا ارتفاع ۱۵۰۰ متری دارای پوشش گیاهی از نوع جنگل‌های سوزنی‌برگ بوده و تا ارتفاع ۲۵۰۰ متری نیز دارای مخلوط جنگل‌های همیشه‌سبز و پهن‌برگ است؛ همچنین، آب‌وهوا موسیمی نیمه‌گرمسیری با میانگین بارش ۸۷۳ میلی‌متر و درجه حرارت ۱۳/۷ درجه سانتی‌گراد است؛ بنابراین، پوشش گیاهی محدوده مطالعاتی برای ایشان مهم بوده و با وجود بارندگی زیاد، معیار شاخص خشکی، کمترین اهمیت را داشته است.

طبق نتایج حاصل از فرایند تحلیل سلسله‌مراتبی، حدود ۱۰٪ از وسعت استان نیاز به توجه جدی برای کاهش آسیب را دارد. اگرچه در انجام این فرایند، از فازی‌سازی آن اجتناب شده، اما با اعمال وزن به طبقات

1- Spatial Principal Component Analysis (SPCA)

2- Nandy

معیارها، تلاش شده است دقّت ارزیابی بیشتر شود. به طوری که وزن‌های بیشتری به طبقاتی که از جهت آسیب رساندن به محیط‌زیست و یا در معرض آسیب بودن مورد توجه قرار گرفتند، اختصاص یافت. نقشهٔ حاصل از فرایند ترکیب خطی وزنی، وسعت بیشتری از استان را در طبقات آسیب‌پذیری زیاد و شدید قرار داده است که بر اساس آن، حدود نیمی از وسعت استان به توجه جدی نیاز دارد.

در مجموع می‌توان گفت لکه‌های داغ در سطح استان، به طور عمده تحت کاربری کشاورزی و شهری هستند. بدینهی است که کاربری کشاورزی و شهری با تراکم زیادی از جاده و جمعیت همراه هستند؛ به این ترتیب، فعالیت‌های انسانی، نقش عمده‌ای در آسیب‌پذیری کردن مناطق دارند. در برخی مناطق، مانند شهرستان‌های نورآباد و پلدختر، زمین‌های با شیب زیاد، در طبقهٔ آسیب‌پذیری شدید قرار گرفته‌اند که این موضوع، حساسیت زمین‌شناسی این مناطق از نظر فرسایش را نشان می‌دهد. در کوهدهشت، رومشکان و دوره، جنگل‌های بلوط دچار آسیب‌پذیری شدید هستند.

دو منطقهٔ حفاظت‌شده سفیدکوه و اشترانکوه در استان لرستان قرار دارند. در محدودهٔ سفیدکوه، لکه داغ شناسایی نشد؛ اما در منطقهٔ حفاظت‌شده اشترانکوه، لکه داغ شناسایی شد که این موضوع، باید مورد توجه متولیان امر قرار گیرد. پژوهش حاضر، می‌تواند به منظور اختصاص اعتبار توسط سازمان‌های دارای صلاحیت در امر حفاظت و احیاء منابع طبیعی و محیط‌زیست راهگشا باشد. اگرچه ارزیابی آسیب‌پذیری زیست‌محیطی به طور دقیق نمی‌تواند با اطمینان، مناطق در معرض آسیب را نشان دهد؛ اما بر اساس تعداد زیادی از مشخصه‌ها، می‌تواند به نتیجه‌گیری غیرمستقیم مناطق آسیب‌پذیر کمک کند (ساهو و همکاران، ۲۰۱۶). دقّت و قابلیت اطمینان از نتایج ارزیابی به بسیاری از پارامترها از جمله کیفیت اطّلاقات اولیه، وزن عوامل، روش وزن‌دهی عوامل و پردازش صحیح اطّلاقات در سیستم اطّلاقات جغرافیایی بستگی دارد (وانگ و همکاران، ۲۰۰۸ ب).

نتیجه‌گیری

با توجه به اینکه لکه‌های داغ در شهرستان‌های الشتر، خرم‌آباد، بروجرد، دورود، الیگودرز و ازنا با کاربری کشاورزی و شهری، در شهرستان‌های کوهدهشت، رومشکان و دوره جنگل‌های بلوط و در شهرستان‌های پلدختر و نورآباد، زمین‌های کشاورزی با ساختار زمین‌شناسی حساس به عنوان لکه داغ شناخته شدند، منابعی که در بخش قبل ذکر شد (پوشش گیاهی، منابع آب‌های زیرزمینی و سطحی و خاک)، مشخص شد که در چه بخش‌هایی از استان، اولویت آسیب‌پذیر بودن را دارند. به این معنا که کاربری کشاورزی و شهری، آب‌های زیرزمینی و سطحی شهرستان‌های الشتر، خرم‌آباد، بروجرد، دورود، الیگودرز و ازنا را تحت تأثیر قرار می‌دهند. پوشش گیاهی (جنگل‌های بلوط) در کوهدهشت، رومشکان و دوره؛ فرسایش‌پذیری خاک در پلدختر و نورآباد، اولویت آسیب‌پذیری و سیاست‌های مدیریتی را تعیین می‌کنند.

ممکن است دلیل آنکه زمین‌هایی که کاربری کشاورزی دارند، در بیشتر شهرستان‌ها به عنوان لکه داغ شناخته شدند، این باشد که عوامل انسانی بیش از عوامل طبیعی بررسی شده باشند. در توجیه این امر می‌توان گفت: شرایط طبیعی با وضعیت موجود سازگار بوده و حساسیت را نشان می‌دهند و این شرایط انسانی هستند که تأثیر بسزایی در آسیب‌پذیر کردن محیط دارند که وزن‌دهی معیارها توسط کارشناسان گواهی بر این مدعّاست. با این وجود، در پژوهش حاضر، عوامل انسانی مانند صنایع و معادن استان می‌توانست در نظر گرفته شود که دسترسی به اطّلاقات آنها میسر نبود؛ بنابراین، پیشنهادی که در این زمینه می‌توان داد این

است که شرایط طبیعی به عنوان واحد در معرض خطر^۱ در نظر گرفته شوند. در این صورت، می‌توان با بررسی خطرهای موجود برای محیط‌زیست، یک ارزیابی ریسک صورت گیرد؛ چراکه در یافته‌های پژوهشگران با وجود سه عامل شامل واحد در معرض خطر و خطر^۲ و آسیب‌پذیری، می‌توان به میزان ریسک دست یافت (کاردونا^۳ و همکاران، ۲۰۱۲؛ کارو^۴ و همکاران، ۲۰۱۶).

منابع

اداره کل حفاظت محیط‌زیست استان لرستان (۱۳۹۵) موقعیت جغرافیایی محل‌های انباشت زباله‌های شهری استان لرستان.

استانداری استان لرستان (۱۳۹۳) نقشه زمین‌شناسی، فرسایش‌پذیری، جاده و آبراهه استان لرستان. پژوهشکده اقتصاد دانشگاه تربیت مدرس (۱۳۸۴) طرح جامع توسعه استان لرستان. سازمان مدیریت برنامه‌ریزی استان لرستان.

شرکت سهامی آب منطقه‌ای استان لرستان (۱۳۹۳) گزارش مطالعات منابع آب و زمین‌شناسی، دشت‌های استان لرستان.

شريفزادگان، محمدحسین؛ فتحی، حميد (۱۳۸۴) ارزیابی آسیب‌پذیری زیستمحیطی برای برنامه‌ریزی منطقه‌ای در حوزه‌های سه‌گانه زیستمحیطی البرز به روش سلسله‌مراتبی، علوم محیطی، ۱۰، صص. ۱-۲۰. کاویانی، عذرا (۱۳۹۳) کاربرد و مقایسه روش‌های فراترجهای پرومته II و الکتر III در شناسایی و اولویت‌بندی نواحی بحرانی حوزه آبخیز دینور استان کرمانشاه، پایان‌نامه کارشناسی ارشد آبخیزداری، استاد راهنمای مهدی عرفانیان، دانشگاه ارومیه، ارومیه.

کرم، عبدالامیر (۱۳۸۳) کاربرد مدل خطی وزین (WLC) در پهنه‌بندی و قوع پتانسیل زمین‌لغزش مطالعه موردی؛ منطقه سرخون در استان چهارمحال و بختیاری، جغرافیا و توسعه، ۲ (۴)، صص. ۱۴۶-۱۳۱.

لشني‌زند، مهران؛ پروانه، بهروز؛ بیرونوند، فاتنه (۱۳۹۰) پهنه‌بندی اقلیمی استان لرستان با استفاده از روش‌های آماری و تعیین مناسب‌ترین روش تجربی، جغرافیای طبیعی، ۴ (۱۱)، صص. ۱۰۵-۸۹.

مخدوم فرخنده، مجید (۱۳۸۷) شالوده آمایش سرزمین، انتشارات دانشگاه تهران، تهران.

- Adger, W. N. (2006) Vulnerability, *Global Environment Change*, 16 (3), pp. 268-281.
- Birkmann, J. (2007) Risk and Vulnerability Indicators at Different Scales. Applicability, usefulness and policy implications, *Environment Hazards*, 7, pp. 20-31.
- Cardona, O., van Aalst, M., Birkmann, J., Fordham, M., McGregor, G., Perez, R., Pulwarty, R., Schipper, E., Sinh, B. (2012) Determinants of risk: exposure and vulnerability. In: **Managing the Risks of Extreme Events and Disasters to Advance Climate Change Adaptation**, Field, C., Barros, V., Stocker, T., Qin, D., Dokken, D., Ebi, K., Mastrandrea, M., Mach, K., Plattner, G. K., Allen, S., Tignor, M., Midgley, P. (Eds.), Managing the Risks of Extreme Events and Disasters to Advance Climate Change Adaptation, Cambridge University Press.
- Carrao, H., Naumann, G., Barbosa, P. (2016) Mapping Global Patterns of Drought Risk: An Empirical Framework Based on Sub-National Estimates of Hazard, Exposure and Vulnerability, *Global Environmental Change*, 39, pp. 108-124.
- Clark, W. C., Dickson, N. M. (2003) Sustainability Science: The Emerging Research Program,

1- Exposure

2- Hazard

3- Cardona

4- Carrao

- Proceedings of the National Academy of Sciences of the United States America**, 100 (14), pp. 8059-8061.
- Cutter, S. L. (2003) The Vulnerability of Science and the Science of Vulnerability, **Annals of the Association of American Geographers**, 93 (1), pp. 1-12.
- Kaly, U., Pratt, C., Mitchell, W. (2004) **The Environmental Vulnerability Index (EVI)**, SOPAC, Technical Report 384.
- Li, A., Wang, A., Liang, S., Zhou, W. (2006) Eco-Environmental Vulnerability Evaluation in Mountainous Region Using Remote Sensing and GIS, Case Study in the Upper Reaches of Minjiang River, China, **Ecological Modelling**, 192, pp. 175-187.
- Li, L., Shi, Z. H., Yin, W., Zhu, D., Ng, S. L., Cai, C., Lei, A. (2009) A Fuzzy Analytic Hierarchy Process (FAHP) Approach to Eco-Environmental Vulnerability Assessment for the Danjiangkou Reservoir Area, China, **Ecological Modelling**, 220, pp. 3439-3447.
- Liao, X., Li, W., Hou, J. (2013) Application of GIS Based Ecological Vulnerability Evaluation in Environmental Impact Assessment of Master Plan of Coal Mining Area, **Procedia Environmental Sciences**, 18, pp. 271-276.
- Liu, D., Cao, Ch., Dubovik, O., Tian, R., Chen, W., Zhuang, Q., Zhao, Y., Menz, G. (2017) Using Fuzzy Analytic Hierarchy Process for Spatio-Temporal Analysis of Eco-Environmental Vulnerability Change During 1990-2010 in Sanjiangyuan Region, **Ecological Indicators**, 73, pp. 612-625.
- Lu, D. (2011) Development of Geographical Sciences and Research on Global Change in China, **Acta Geographica Sinica**, 66 (2), pp. 147-156.
- Nandy, S., Singh, C., Das, K. K., Kingma, N. C., Kushwaha, S. P. S. (2015) Environmental Vulnerability Assessment of Eco-Development Zone of Great Himalayan National Park, Himachal Pradesh, India, **Ecological Indicators**, 57, pp. 182-195.
- Nguyen, A. K., Liou, Y. A., Li, M. H., Tran, T. A. (2016) Zoning Eco-Environmental Vulnerability for Environmental Management and Protection, **Ecological Indicators**, 69, pp. 100-117.
- Saaty, T. L. (1980) **The Analytic Hierarchy Process**, McGraw-Hill, New York.
- Sahoo, S., Dhar, A., Kar, A. (2016) Environmental Vulnerability Assessment Using Grey Analytic Hierarchy Process Based Model, **Environmental Impact Assessment Review**, 56, pp. 145-154.
- Skondras, N. A., Karavitis, Ch. A., Gkotsis, I. I., Scott, P. J. B., Kaly, U. L., Alexandris, S. G. (2011) Application and Assessment of the Environmental Vulnerability Index in Greece, **Ecological Indicators**, 11 (6), pp. 1699-1706.
- Turner, B. L. II., Kasperson, R. E., Matson, P. A., McCarthy, J. J., Corell, R. W., Christensen, L., Eckley, N., Kasperson, J. X., Luers, A., Martello, M. L., Polksky, C., Pulsipher, A., Schiller, A. (2003) A Framework for Vulnerability Analysis in Sustainability Science, **Proc. Natl. Academic. Science. Pnas**, 100 (14), pp. 8074-8079.
- Wang, S. Y., Liu, J. Sh., Yang, C. J. (2008 A) Eco-Environmental Vulnerability Evaluation in the Yellow River Basin, China, **Pedosphere**, 18 (2), pp. 171-182.
- Wang, X. D., Zhong, X. H., Liu, S. Z., Liu, J. G., Wang, Z. Y., Li, M. H. (2008 B) Regional Assessment of Environmental Vulnerability in the Tibetan Plateau: Development and Application of a New Method, **Arid Environments**, 72, pp. 1929-1939.
- Xiong, Y., Zeng, G. M., Chen, G. Q., Tang, L., Wang, K. L., Huang, D. Y. (2007) Combining AHP with GIS in Synthetic Evaluation of Eco-Environment Quality-A Case Study of Hunan Province, China, **Ecological Modeling**, 209 (2-4), pp. 97-109.